

# مطالعه تغییرات گلیکوز آمینوگلیکان‌های ماتریکس خارج سلولی در روند تکامل پالپ دندان در موش

طیبه کرمانی\* - دکتر عبدالرضا وارسته\*\* - دکتر محمدرضا نیک‌روش\*\*\* - دکتر مهدی مرادی\*\*\*\*

\*عضو هیأت علمی دانشگاه علوم پزشکی و خدمات بهداشتی، درمانی بیرجند

\*\*استادیار گروه آموزشی ایمونولوژی، دانشکده پزشکی دانشگاه علوم پزشکی و خدمات بهداشتی، درمانی مشهد

\*\*\*استادیار گروه آموزشی علوم تشریحی، دانشکده پزشکی دانشگاه علوم پزشکی و خدمات بهداشتی، درمانی مشهد

\*\*\*\*دندانپزشک

**Title:** Study of Glycosaminoglycans of Extracellular Matrix (ECM) in Pulp of Developing Tooth  
**Authors:** Kermany T. Ph.D Student\*, Varasteh AR. Assistant Professor\*\*, Nicravesh MR. Assistant Professor\*\*\*, Moradi M. Dentist

**Address:** \*Dept. of Anatomy, Birjand University of Medical Sciences

\*\*Dept. of Immunology, Mashhad University of Medical Sciences

\*\*\*Dept. of Anatomy, Mashhad University of Medical Sciences

**Abstract:** Mesenchymal- epithelial interactions during embryogenesis have been shown to be important in the fetal development of many organs. Identification of molecules that modulate these interactions is key to our understanding of the pathological conditions. The major groups of extracellular matrix (ECM) molecules characterized are glycosaminoglycans that candidate for morphogenesis and differentiation of cells and tissues. In this study the molecules of ECM were considered in tooth development, pregnant female mice of balb-c were stained (vaginal plug=0 day) and embryos (E12-E19) and newborns (PN1-PN9) were collected. Tissues were fixed, processed embedded and sectioned. Sections were stained with the following methods: Alcian Blue (pH=1), PAS- Alcian Blue (pH=2.5), Alcian Blue (pH=5.8) prepared with for MgCL2 concentrations (CEC1- CEC4) and toluidin Blue. Non- parametric statistical test (Kruskall- Wallis) showed significant difference between groups from the point of hyaluronic acid, chondroitin sulfate, carboxylated and sulfated glycosaminoglycan in pulp. It seems that the synthesis and secretion of components of ECM is important in morphogenic events and followed by a spatiotemporal pattern and developmentally regulated.

**Key words:** Exteracellular matrix- Glycosaminoglycans- Pulp

*Journal of Dentistry. Tehran University of Medical Sciences (Vol. 13, No:2, 2000)*

## چکیده

تکامل جنینی بسیاری از ارگان‌ها مستلزم میان‌کنش‌های متعدد سلول‌ها و بافتها با یکدیگر و نیز محیط خارج سلولی می‌باشد و در این میان، روند تکامل دندان، سیستم بیولوژیک مناسب و جالبی را فراهم ساخته است که در آن امکان بررسی میان‌کنش‌های اپی‌تلیالی - مزانشیمی دوطرفه و نیز بررسی دخالت میان‌کنش سلول‌ها با ماتریکس خارج سلولی وجود دارد. با به دست‌آوردن الگوی توزیع مولکول‌های مختلف در ماتریکس خارج سلولی می‌توان نقش بالقوه آنها را در هر

مرحله تکاملی ارزیابی کرد و جهت تشخیص و پیش‌آگهی بیماریها در شرایط پاتولوژیک مورد استفاده قرارداد. گلیکوزآمینوگلیکان‌ها از جمله اجزای عمده ماتریکس خارج سلولی هستند که در روند مورفوژنز و تمایز طبیعی سلول‌ها و بافتها مطرح می‌باشند؛ بنابراین در این مطالعه تعدادی از این مولکول‌ها جهت ردیابی در پالپ دندان انتخاب شدند. مطالعه بر روی موش Balb-c از روز دوازدهم جنینی تا ۹ روز پس از تولد با رنگ‌آمیزیهای هیستوشیمیایی خاص گلیکوزآمینوگلیکان‌ها صورت گرفت و با استفاده از آزمون غیر پارامتری کروسکال-والیس و آزمون دوطرفه Mann-Whitney مورد تجزیه و تحلیل قرار گرفت. در طی روند تکامل پالپ بین گروههای مورد مطالعه از نظر بروز اسید هیالورونیک، کندروایتین سولفات، گلیکوزآمینوگلیکان‌های اسیدی و سولفات‌ها اختلاف معنی‌داری وجود داشت. نتایج نشان داد که تغییر گلیکوزآمینوگلیکان‌های پالپ در تمایز قسمتهای محیطی آن به ادنتوبلاست‌ها حائز اهمیت است؛ به عبارت دیگر، سنتز و ترشح اجزای ماتریکس خارج سلولی در وقایع مورفوژنی اهمیت دارد و از الگوی زمانی-مکانی خاصی تبعیت می‌کند؛ به همین دلیل پیشنهاد می‌شود در مطالعات بعدی با تغییر این ترکیبات در پالپ، تمایز بیشتر ادنتوبلاست‌ها در ضایعات عاج مورد توجه قرار گیرد.

کلید واژه‌ها: پالپ- گلیکوزآمینوگلیکان‌ها- ماتریکس خارج سلولی

مجله دندانپزشکی دانشگاه علوم پزشکی و خدمات بهداشتی، درمانی تهران (دوره ۱۳، شماره دوم، سال ۱۳۷۹)

## مقدمه

مورفوژنز طبیعی بسیاری از ارگان‌ها گزارش شده است (۱۱،۱۰،۹،۸،۷)؛ لذا می‌توان با به‌دست آوردن الگوی توزیع مولکول‌های مختلف در ECM در ارگان‌های در حال تکامل، نقش بالقوه و احتمالی آنها را در هر مرحله پیش‌بینی کرد و جهت تشخیص و درمان در شرایط پاتولوژیک مورد استفاده قرارداد؛ از این میان می‌توان به گلیکوزآمینو-گلیکان‌های موجود در ماتریکس خارج سلولی اشاره کرد که در مراحل مختلف تکامل از الگوی خاصی تبعیت می‌کند و در مورفوژنز و تمایز سلولی طبیعی جهت میان‌کنش‌های متعدد سلول-سلول و سلول-ماتریکس ضروری است؛ اما هنوز نقش آنها بخوبی شناخته نشده است (۱۲)؛ بر این اساس در این مطالعه تعدادی از این گلیکوزآمینوگلیکان‌ها در پالپ دندان (که نقش کلیدی و راهنما را در شکل‌گیری

برای مطالعه تکثیر و تمایز سلولی از سیستم‌های بیولوژیکی مختلفی استفاده شده و در این میان تکامل دندان بهترین فرصت را برای بررسی ارتباط بین فعالیت سلولی و تمایز آن فراهم ساخته است (۳،۲،۱). تکامل دندان مدل مناسبی برای بررسی اطلاعات موقعیتی (Positional Information)، مورفوژنز، تمایز سلولی، تشکیل ماتریکس خارج سلولی (ECM) تخصص یافته و بیومینرالیزاسیون است (۳،۱) که توسط یکسری میان‌کنش‌های اپی‌تلیالی-مزانشیمی دو طرفه کنترل می‌شود (۴،۳،۵،۶)؛ به‌علاوه در دندان امکان بررسی میان‌کنش سلول‌ها با مولکول‌های ماتریکس خارج سلولی و بالعکس نیز وجود دارد (۲). تغییرات ترکیبات ECM در

رنگ‌آمیزی (P.A.S (Periodic Acid Schiff Reaction)،  
AB P=2.5 (Alcain Blue)، آلسین‌بلو  $pH=1^2$  انجام  
شد (۱۴).

پس از مطالعه و پیگیری اجزای ماتریکس خارج سلولی،  
درجه‌بندی شدت رنگ‌آمیزی مطابق روش Gong و  
همکاران (۱۹۹۷) (۱۵) صورت گرفت (جدول شماره ۱).

جدول شماره ۱- راهنمای درجه‌بندی شدت رنگ‌آمیزی برای  
روش‌های هیستوشیمی به روش Gong (۱۹۹۷)

رتبه‌ها	توضیح
۰ (-)	هیچ رنگی ملاحظه نشد.
۱ (+)	شدت رنگ‌آمیزی بسیار کم (اندک)
۲ (++)	شدت رنگ‌آمیزی کم
۳ (+++)	شدت رنگ‌آمیزی متوسط
۴ (++++)	شدت رنگ‌آمیزی زیاد
۵ (+++++)	شدت رنگ‌آمیزی خیلی زیاد

جدول آماری مربوطه تهیه گردید و از طریق آزمون  
غیرپارامتری کروسکال-والیس و آزمون دوطرفه  
Mann-Whitney مورد تجزیه و تحلیل قرار گرفت.

### یافته‌ها

در روند تکامل دندان روزهای جنینی معیار ثابتی نیست  
و در دندانهای مختلف و حتی جنین‌های یک لیتر (همزاد)  
ممکن است تفاوت‌های چشمگیری ملاحظه شود (۱۶)؛ این  
مطالعه بر اساس مراحل قراردادی تکامل دندان انجام شد.

#### ◀ مرحله جوانه‌دندانی (Tooth Bud): E13-E15

در این مرحله قبل از تشکیل پالپ، بافت اکتومزانشیم  
(پیش‌ساز پالپ) در اطراف اندام مینایی شدیداً متراکم شد.

اجزای دندان و نیز ترمیم عاج پس از ضایعات ایفا می‌کند،  
انتخاب شدند.

### روش بررسی

در این مطالعه ۶۰ موش از نژاد Balb-c انتخاب شدند.  
مشاهده واژینال پلاگ به عنوان روز صفر حاملگی در نظر  
گرفته شد (Vaginal Plug=0 day). موشهای حامله در  
شرایط مطلوب از نظر رطوبت (۵۰ تا ۵۵ درجه)، دما (۲۲  
درجه سانتی‌گراد)، نور (۱۲ ساعت تاریکی-۱۲ ساعت  
روشنایی) و دسترسی به مواد غذایی و آب نگهداری شدند؛  
سپس بر اساس روزهای جنینی دوازدهم تا نوزدهم (E12 تا  
E19) و تا روز نهم پس از تولد (P9)، جنین‌ها و نوزادان  
موش (پس از بیهوشی عمیق به کمک کلروفورم که منجر  
به مرگ حیوان شد) در مدت کمتر از نیم ساعت، تشریح  
شدند. سر جنین‌ها (E12-E16) و فک تحتانی آنها  
(E17-P9) در فیکساتورهای فرمالین، بوئن به مدت ۲۴  
ساعت ثابت (Fix) و پس از آن به روش معمول  
بافت‌شناسی آماده شد (۱۳). بطور متوسط از هر نمونه ۸  
بلوک پارافینی تهیه شد و به کمک میکروتوم روتاری  
(Leitz 1512) به روش سریال، مقاطع ۵ تا ۷ میکرونی به  
صورت عرضی، ساژیتال و فرونتال مهیا گردید.

رنگ‌آمیزی مقاطع توسط رنگ‌آمیزیهای هیستوشیمیایی  
خاص گلیکوز آمینوگلیکان‌ها شامل آلسین‌بلو در  $pH= 5/8$   
به روش Critical Electrolyte Concentration با چهار  
غلظت متفاوت از کاتیون  $MgCl_2$  &  $CEC1-CEC4$ <sup>۱</sup>.

۲- رنگ‌آمیزیهای P.A.S و آلسین‌بلو  $pH=2.5$ ،  $pH=1$  به ترتیب  
گلیکوز آمینوگلیکان‌های خنثی، اسیدی و سولفات را رنگ می‌کند.

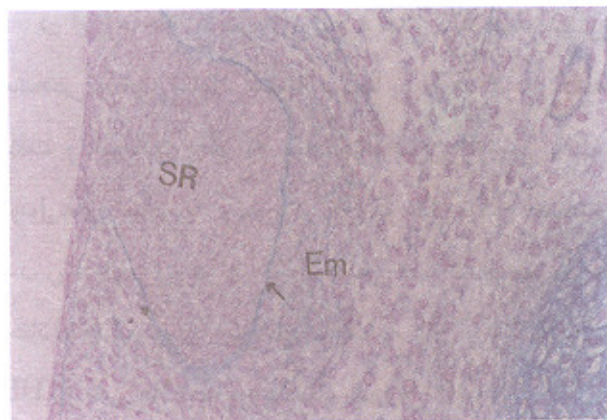
۱- رنگ‌آمیزیهای (CEC1-CEC4) به ترتیب ترکیبات اسیدهای لورونیک،  
کندروایتین سولفات و کراتان سولفات را مشخص می‌سازد.

گلیکان‌های خنثی (PAS) و سولفات‌ها (آل‌سین بلو  $pH=2/5$ ) مثبت است (جدول شماره ۲). در تصویر شماره ۱ میزان واکنش رنگ‌پذیری نسبت به ترکیبات اسید هیالورونیک (CEC1) مشاهده می‌شود.

#### ◀ مرحله زنگوله‌ای شکل اولیه (Early Bell Stage)

E18-E19 :

افزایش ارتفاع چشمگیر ادنتوبلاست‌ها در محیط پالپ و شروع ترشح پیش‌عاج در حد فاصل این دو از وقایع قابل ملاحظه در این مرحله بود. تمایز ادنتوبلاست‌ها و ترشح عاج از طرف نواحی مرکزی به سمت گردن ادامه یافت. مزانشیم پالپ در زیر ادنتوبلاست‌ها ظاهر متراکم‌تر و پرسلولی را به خود گرفته بود؛ اما در بخش مرکزی پالپ، عروق خونی فراوان و وسیع بود.



تصویر شماره ۱- مرحله کلاهکی: واکنش اکتومزانشیم (پالپ) (Em)، اپی‌تلیوم ستاره‌ای (SR) و غشاء پایه دندانی (بیکان‌ها) برای اسید هیالورونیک (CEC1,  $\times 100$ ) نشان داده شده است.

استخوان آلوئولار تمایز بیشتری پیدا کرد که می‌تواند نمایانگر نوعی همزمانی از لحاظ تشکیل بافت‌های سخت (ترشح عاج و تشکیل ماتریکس) باشد.

واکنش رنگ‌پذیری پالپ در این مرحله تنها نسبت به

واکنش بازوفیلی هسته سلول‌های متراکم، بدون واکنش مشخص در سیتوپلاسم سلول‌ها قابل رؤیت بود.

نتیجه رنگ‌آمیزی با روش CEC1-CEC2 برای اکتومزانشیم مثبت ارزیابی شد؛ اما واکنش آن به CEC3 و CEC4 منفی بود.

نتایج حاصله از درجه‌بندی شدت رنگ‌آمیزیها برای اکتومزانشیم (پیش‌ساز پالپ) و نیز پالپ در مراحل تکاملی مختلف در جدول شماره ۲ خلاصه شده است.

#### ◀ مرحله کلاهکی اولیه (Early Cap Stage)

E15-E16 :

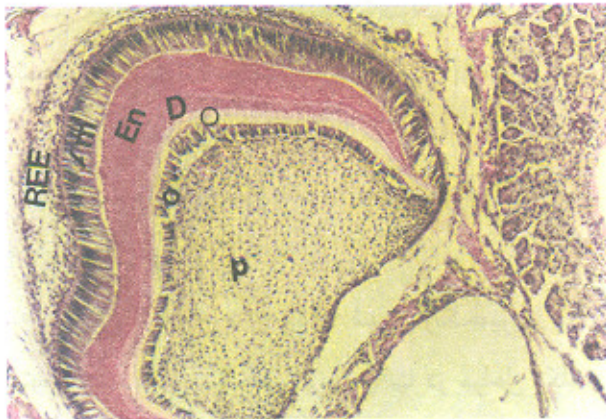
در طی این مرحله با پیشرفت روند تکامل و تمایز، بافت اکتومزانشیم به سطح تحتانی اندام مینایی فرو رفت و پالپ (دنتال پایپلا) شکل گرفت.

تراکم بافت مزانشیمی در قاعده پالپ (مربوط به ادنتوبلاست‌های آینده) به مراتب بیشتر از سایر جاها بود و به صورت مجموعه‌ای از سلول‌های شدیداً بازوفیل روی هم چیده شده بود. همان‌طور که در جدول شماره ۲ ملاحظه می‌شود، واکنش رنگ‌آمیزی پالپ به CEC1, CEC2, PAS مثبت است.

#### ◀ مرحله کلاهکی پیشرفته (Late Cap Stage)

E16-E17 :

در قاعده اندام مینایی، مزانشیم در محیط پالپ متراکم‌تر شد و در برخی از نمونه‌های مطالعه‌شده در نواحی قاعده Cap، ادنتوبلاست‌ها متمایز گردید. گسترش عروقی وسیع در محیط پالپ در این مرحله تا قبل از ترشح پیش‌عاج (Predentin) مشاهده شد. شدت رنگ‌پذیری پالپ نسبت به ترکیبات اسید هیالورونیک (ECE1) و گلیکوز آمینو



تصویر شماره ۲- مرحله تشکیل عاج و مینا نشان داده شده است. پالپ (P)، ادنتوبلاست‌ها (Od)، عاج (D)، پیش‌عاج (O)، آملوبلاست‌ها (Am)، مینا (En) کاملاً مشهود است. بقایای اپیتلیوم مینایی (REE) نیز مشاهده می‌شود (H-E، 100×).

واکنش به آلسین‌بلو با روشهای CEC1 و CEC2 در این مرحله نشان داد که پاسخ ادنتوبلاست‌ها و عاج به ترتیب اندک و کم بود؛ اما در ناحیه حد فاصل عاج و پیش‌عاج زیاد بود؛ در حالی که پالپ و ماتریکس استخوان با شدت زیاد رنگ گرفتند (تصویر شماره ۲). ناحیه حد فاصل عاج و پیش‌عاج در CEC2، CEC3 نیز با شدت متوسط رنگ گرفت؛ اما واکنش به CEC4 تنها در ناحیه عاج زیاد بود و در ناحیه پالپ و فولیکول دندان‌ی شدت رنگ کم بود (جدول شماره ۲).

CEC1 قابل توجه بود (جدول شماره ۲). در این مرحله واکنش ادنتوبلاست‌ها با شدت بسیار کم به CEC2 پاسخ داد. واکنش عاج و پیش‌عاج به CEC2 متفاوت بود؛ به طوری که پیش‌عاج با شدت زیاد و عاج با شدت بسیار کم به این روش پاسخ داد. در CEC3 پیش‌عاج و استخوان آلوئولار با شدت متوسط رنگ شد و در CEC4 تنها استخوان آلوئولار با شدت کم واکنش نشان داد؛ اما در رنگ‌آمیزی PAS، عاج با شدت کم و استخوان آلوئولار با شدت زیاد رنگ شد.

در رنگ‌آمیزی آلسین‌بلو (pH=۱) فقط ناحیه پیش‌عاج در حال ترشح، کمی رنگ شد.

#### ◀ مرحله زنگوله‌ای شکل پیشرفته (Late Bell Stage) : E19-P9

در این مرحله، با شروع ترشح و سنتز مینا ظاهر دندان مشخص تر شد. تکامل ادنتوبلاست‌ها به طرف گردن ادامه یافت و ضخامت عاج به طور چشمگیری افزایش یافت. توبول‌های دندان‌ی به وضوح در عاج در حال ترشح مشاهده شد. زوائد تومز نیز در هر توبول دندان‌ی قابل تشخیص بود و اختلاف رنگ‌پذیری پیش‌عاج نسبت به عاج در رنگ‌آمیزی HE نیز قابل ملاحظه بود (تصویر شماره ۲).

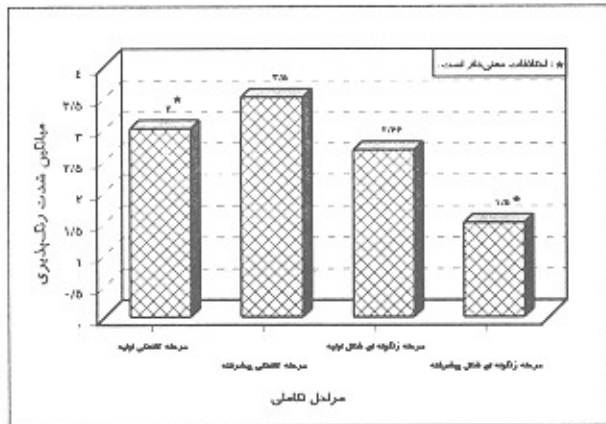
جدول شماره ۲- شدت رنگ‌پذیری پالپ در رنگ‌آمیزیهای مختلف، در مراحل تکاملی دندان

آلسین‌بلو		PAS*	CEC <sub>4</sub>	CEC <sub>3</sub>	CEC <sub>2</sub>	CEC <sub>1</sub>	انواع رنگ‌آمیزی مراحل تکامل
pH=۱	pH=۲/۵						
-	-	+	-	-	++	+++	مرحله جوانه دندان‌ی
-	-	++	-	-	+++	+++	مرحله کلاهکی اولیه
-	+++	-	-	-	-	+++	مرحله کلاهکی پیشرفته
+	+	+	-	+	+	+++	مرحله زنگوله‌ای شکل اولیه
+++**	+	++	++	++	+++	+++	مرحله زنگوله‌ای شکل پیشرفته

\* Periodic Acid Schiff Reaction= PAS

\*\* ابتدا شدت رنگ در محیط پالپ متوسط (+++) و در مرکز اندک (+) بود؛ اما با افزایش سن بر شدت رنگ در محیط افزوده شد.

مهاجرت ستیغ عصبی منشأ گرفته‌اند و تمایل به تجمع در اطراف اندام مینایی دارند، ضروری به نظر می‌رسد.



تصویر شماره ۳- مقایسه شدت رنگ‌آمیزی پالپ در بین گروه‌های مختلف مورد مطالعه برای اسید هیالورونیک

در مرحله کلاهی، از شدت میزان هیپران سولفات و کندروایتین سولفات کاسته شد؛ بدیهی است که با پیشرفت روند تکامل، کم‌کم تمایز سلولی شروع و از غلظت اسید هیالورونیک در ماتریکس کاسته می‌شود که با مطالعات Toole (۱۹۹۷) مطابق است (۲۰)؛ همچنین Mark و همکاران (۱۹۹۰) نیز با استفاده از مونوکلونال آنتی‌بادی وجود کندروایتین ۴ سولفات و ۶ سولفات را در پالپ دندان گزارش کردند (۱۲). کندروایتین سولفات در تمایز سلولی (Cytodifferentiation) (۲۱)، برانگیختن و القاء تراکم سلول‌ها (۲۴،۲۲) نقش دارد؛ همچنین گزارش شده است که عمل تنظیم‌کننده مورفوژنز (Morphogulatory) را در طی مورفوژنز دندان و تمایز سلول‌های دودمان اذتوبلاستیک بر عهده دارد (۲۱) که همه این موارد وجود کندروایتین سولفات را در پالپ توجیه می‌کند.

Nishiyama و همکاران (۱۹۹۱) در جوانه اندام نیز گزارش کردند که NG2 (یک پروتئوگلیکان حاوی مقادیر

در این مرحله، واکنش رنگ‌آمیزی با آلسین‌بلو (pH=۱) در محیط و مرکز پالپ متفاوت بود.

در ابتدا شدت رنگ در محیط بطور متوسط و در مرکز اندک بود ولی با افزایش سن بر شدت رنگ در محیط افزوده شد.

در طی روند تکامل پالپ از نظر بروز اسید هیالورونیک، کندروایتین سولفات، گلیکوز‌آمینوگلیکان‌های اسیدی و سولفات‌ها بین گروه‌های مورد مطالعه (به ترتیب با  $P=0/018$ ،  $P=0/008$ ،  $P=0/014$ ،  $P=0/025$ ) اختلاف معنی‌داری وجود داشت؛ تجزیه و تحلیل بیشتر اطلاعات با آزمون دوطرفه Mann-Whitney نشان داد که این اختلاف در مراحل مختلف تکاملی بود (جدول و تصویر شماره ۳).

لازم به ذکر است که از نظر میزان گلیکوز‌آمینوگلیکان‌های خنثی اختلاف معنی‌داری مشاهده نشد.

## بحث

در مراحل اولیه تشکیل دندان در ماتریکس اکتومزانسیم (پیش‌ساز پالپ) وجود اسید هیالورونیک و کندروایتین سولفات مشاهده شد؛ به علاوه در این مطالعه مشخص شد که بین گروه‌های مورد مطالعه (ECS تا LBS) از نظر میزان اسید هیالورونیک، کندروایتین سولفات و گلیکوز‌آمینوگلیکان‌های اسیدی و سولفات‌ها در پالپ اختلاف معنی‌داری وجود دارد.

مشخص شده است که اسید هیالورونیک موجب آسان شدن مهاجرت سلولی می‌شود (۱۷،۱۵،۹،۸)؛ کندروایتین سولفات نیز باعث تجمع سلولی می‌شود (۱۹،۱۸،۱۰)؛ پس وجود هر دوی آنها در اکتومزانسیم که از سلول‌های در حال

باشد؛ هرچند اظهار نظر دقیق پیرامون این موضوع نیاز به مطالعات بیشتر دارد.

پس از انجام تحلیل‌های آماری مشخص شد که در مرحله کلاهیکی (Cap) از نظر شدت رنگ‌آمیزی برای اسید هیالورونیک، کندروایتین سولفات، ترکیبات قندی خنثی و اسیدی بین اجزای در حال تکامل دندان اختلاف معنی‌داری وجود داشت. در مرحله زنگوله‌ای هیچ اختلاف معنی‌داری بین بخش‌های فوق مشاهده نشد. اختلاف در بیشتر ترکیبات قندی در بین اجزای دندان (در حالی که این اجزا هنوز مراحل ابتدایی تکامل و تمایز خود را آغاز کرده‌اند)، می‌تواند دلیل اهمیت این ترکیبات در تمایز باشد؛ به ویژه آن که، بنا بر گزارشات Kaufman (۱۹۹۷)، این مرحله (Cap) از مراحل بحرانی و حساس در تکامل جنینی دندان محسوب می‌شود (۲۴).

در نهایت، با توجه به اهمیت این ترکیبات در روند تکامل و تمایز طبیعی دندان، شناخت دقیق این مولکول‌ها در پیشرفت روند پوسیدگی و بیماری‌های دهان نقش عمده‌ای را ایفا می‌کند و نیاز به مطالعه و بررسی دقیق آن در بالغین کاملاً محسوس می‌باشد.

زیاد کندروایتین سولفات)، در مراحل اولیه تکامل غضروف فراوان است که با تمایز بیشتر میزان آن کاهش می‌یابد. محققین دیگر، مشاهدات مشابهی را در نرون‌ها و سلول‌های گلیا نشان دادند (۲۳). در این مطالعه نیز در مراحل اولیه تکامل پالپ میزان کندروایتین سولفات زیاد بود؛ اما بعد از آن میزان کندروایتین سولفات سیر نزولی داشت.

از طرف دیگر، در طی مراحل تکامل پالپ، تنها در مرحله زنگوله‌ای بود که نسبت به CEC3 و CEC4 واکنشی مشاهده شد و این مطلب حاکی از عدم وجود یا کمبود ترکیبات سولفاته نظیر هیارین و کراتات سولفات است. واکنش متاکرومازی پالپ برای گلیکوزآمینوگلیکان‌ها در مراحل مختلف تکامل پالپ متفاوت به نظر رسید و در رنگ‌آمیزی‌های مختلف نیز در واکنش کندروایتین سولفات اختلاف مشاهده شد که شاید به دلیل متفاوت بودن درجه سولفاسیون آنها باشد؛ چنان‌که Mark و همکاران (۱۹۹۰) نیز تفاوت در میزان بروز کندروایتین ۴ و ۶ سولفات را از نظر زمانی و مکانی در پالپ مشاهده کردند (۱۲). با توجه به هماهنگی تغییرات درجه سولفاسیون گلیکوزآمینو-گلیکان‌ها با وقایع تکاملی خاص، ممکن است وجود این گروه‌های سولفوری نیز برای تکامل دندان اهمیت داشته

جدول شماره ۳- میانگین شدت رنگ‌آمیزی در پاسخ به روش‌های هیستوشیمی

در طی دوره‌های مطالعه شده در پالپ

السنین بلو		PAS*	CEC2	CEC1	رنگ‌آمیزی مراحل تکاملی
pH=۱	pH=۲/۵				
۰/۵	۱	۲	۳	۳	مرحله کلاهیکی اولیه
۱	۳	۱/۵	۲/۵	۲/۵	مرحله کلاهیکی پیشرفته
۰/۶۶	۰/۳۳	۱/۳۳	۲	۲/۶۶	مرحله زنگوله‌ای شکل اولیه
۰	۱/۵	۱/۵	۱	۱/۵	مرحله زنگوله‌ای شکل پیشرفته

Periodic Acid Schiff Reaction= PAS \*

## تشکر و قدردانی

بدین وسیله مراتب تشکر و قدردانی اعلام می‌گردد. این مطالعه به صورت یک طرح تحقیقاتی و با حمایت مالی معاونت پژوهشی دانشگاه علوم پزشکی مشهد در این طرح یاری نمودند، تشکر و قدردانی می‌گردد. پژوهشکده بوعلی و دانشکده پزشکی انجام شد که

## منابع:

- 1- Kurke P, Ogata K, Tan EM. Monoclonal antibodies to proliferating cell nuclear antigen (PCNA)/ Cyclin as probes for proliferating cells by immunofluorescence microscopy and flow cytometry. *J Immunol Methods* 1988; 109: 49-59.
- 2- Slavkin HC. Embryonic tooth formation: A tool for development biology. *Oral Sciences Reviews* 1974; 4: 130-136.
- 3- Thesleff I, Vaahtokari A, Vainio S, Jowett A. Molecular mechanisms of cell and tissue interactions during early tooth development. *Anat Rec* 1996; 245: 151-161.
- 4- Thesleff I, Vaahtokari A, Partanen AM. Regulation of organogenesis common molecular mechanism regulating the development of teeth and other organs. *Int J Dev Biol* 1995; 39: 35-50.
- 5- Thesleff I, Partanen AM, Vainio S. Epithelial mesenchymal interactions in tooth morphogenesis: The roles of extracellular matrix, growth factors, and cell surface receptors. *J Craniofac Genet Dev Biol* 1991; 11: 229-37.
- 6- Vainio S, Jalkanen M, Thesleff I. Syndecan and Tenascin Expression in embryonic tooth mesenchyme. *J Cell Biol* 1989; 108: 1945-54.
- 7- Lixbimov AV, Burgeson RE, Butkowski RJ, Couchman IR, WU RR, Ninomiya Y, Sado Y, Maguen E, Nesburn AB, Kenney C. Extracellular matrix alterations in human corneas with bullous keratopathy. *Investigative Ophthalmology Visual Science* 1996; 37: 997-1007.
- 8- Kohdo D, Morton CS, Parker AA, Hatanaka H, Hiagaki FM, Campbell ID, Day AJ. Solution structure of the link module: a hyaluronanbinding domain involved in extracellular matrix stability and cell migration. *Cell* 1996; 86: 767-775.
- 9- Knudson CR, Toole BP. Changes in the pericellular matrix during differentiation of limb bud mesoderm. *Int J Dev Biol* 1985; 112: 308-318.
- 10- Gumbiner BM. Cell adhesion: the molecular basis of tissue architecture and morphogenesis. *Cell* 1996; 84: 345-357.
- 11- Gullberg D, Ekblom P. Extracellular matrix and its receptors during development. *Int J Dev Biol* 1995; 39: 845-854.
- 12- Mark MP, Baker JR, Morrison K, Ruch JV. Chondroitin sulfates in developing mouse tooth germs differentiation. *1990; 43: 37-50.*
- 13- Bancroft D. *Theory and Practice of Histological Techniques*. England: Churchill Livingstone; 1982.
- 14- Drury RA, Wallington. *Carleton's Histological Technique*. 5th ed. London: Oxford University Press; 1982.
- 15- Gong H, Ye V, Freddo TF, Hernandez MR. Hyaluronic acid in the normal and glaucomatous optic nerve. *Exp Eye Res* 1997; 64: 587-595.
- 16- Lyngstadaase SP, Moinechen CB, Risnes S. Crown morphology, enamel distribution, and enamel structure in mouse molars. *Anat Rec* 1998; 250: 268-280.
- 17- Lee KA, Pierce RA, Mehan RP, Parks WC. Increased mesenchymal density accompanies induction of tropoelastin expression in developing elastic tissue. *Dev Dyn* 1994; 200: 53-67.
- 18- Lodish H, Baltimore D, Berk A, Zipursky SL, Matsudavia P, Darnell J. *Molecular cell Biology*. 3<sup>rd</sup> ed. Scientific America; 1995: 194: 1124-1189.



- 19- Kaepper PA, Goossens W, Hvizd M, Palmberg PF. Glycosaminoglycans of the human trabecular meshwork in primary open-angle glycoma. *Invest Ophthalmology and Visual Science* 1996; 37: 1360-66.
- 20- Toole BP. Hyaluronan in morphogenesis. *J Int Med* 1997; 242: 35-40.
- 21- Galbraith DB, Cutler LS, Kollar EJ. The correlation of temporal regulation of glycosaminglycan synthesis with morphogenetic events in mouse tooth development. *Arch Oral Biol* 1992; 37: 623-28.
- 22- Ayanoglou CH, Lecolle S, Septier D, Goldberg M. Curprolinic blue visualization of cytosolic and membrane associated glycosaminglycans in the rat junctional epithelium and gingival epithelia. *Histochem J* 1994; 26: 213-25.
- 23- Nishiyam A, Dahlin KS, Stallcup WB. The expression of NG2 proteoglycan in the developing rat limb. *Dev Biol* 1991; 111: 933-44.
- 24- Kaufman JH. Mouse and human embryonic development: a comparative overview. In: Strachan T, Lindsay S, Wilson DI. *Molecular Genetics of Early Human Development*. Oxford: Bios Scientific Publishers Ltd; 1997:Chapter 6: 77-110.